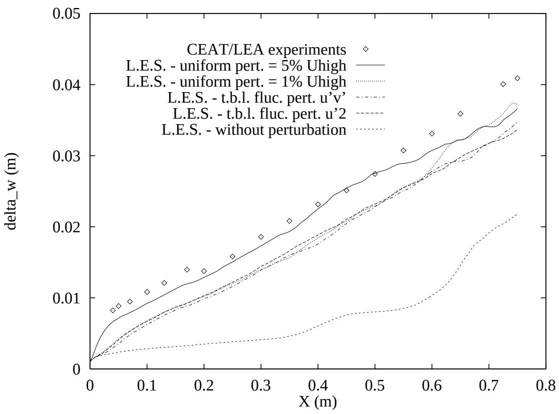

FIG. 1 – *Evolution de l'épaisseur de vorticité* $\delta_\omega(x)$*, pour différentes perturbations. – calculs,* $\diamond$ *expérience.*

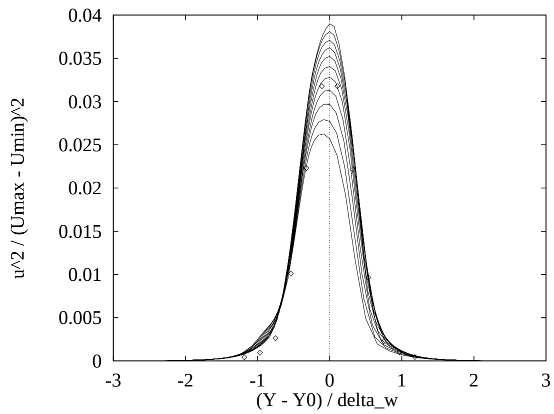

FIG. 2 – *Profils de la tension longitudinale* $\overline{u'^2}$ *en fonction de la hauteur réduite pour différentes abscisses : – L.E.S. : modèle de vorticité,* $\diamond$ *expérience.*

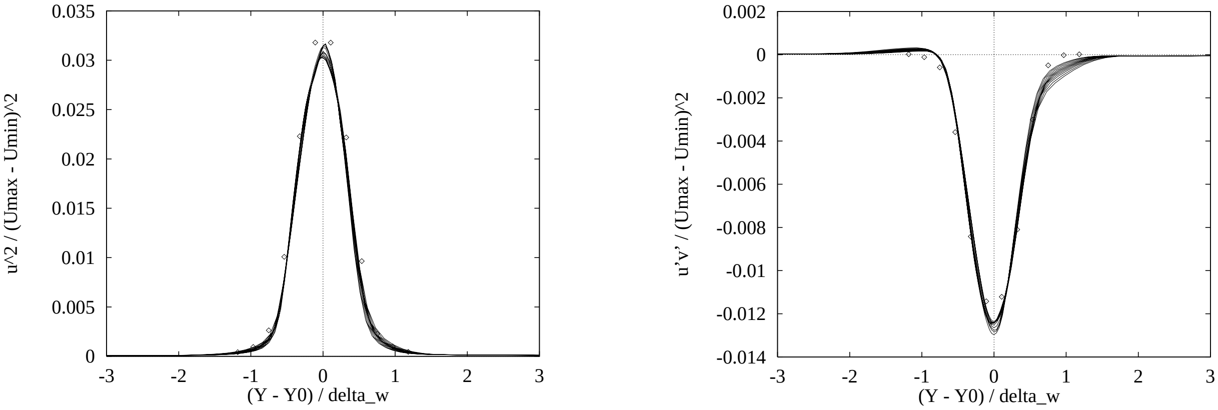

FIG. 3 – *Profils des tensions de Reynolds en fonction de la hauteur réduite pour différentes abscisses ; à gauche : tension longitudinale* $\overline{u'^2}$*, à droite : tension croisée* $\overline{u'v'}$ *: – L.E.S. : modèle d'échelles mixtes avec filtre anisotrope et perturbation en bruit blanc de 7,5% de* U_{haut}*,* $\diamond$ *expérience CEAT/LEA.*

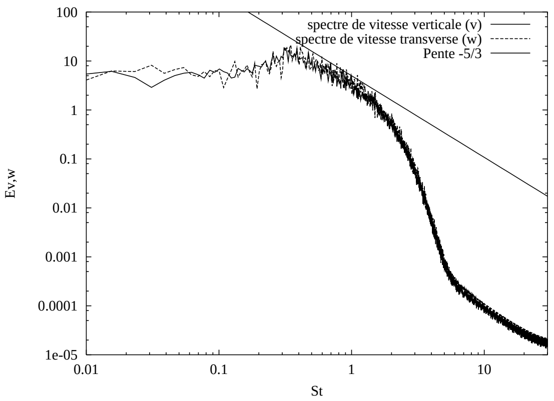

FIG. 4 – *Spectres temporels d'énergie des vitesses verticale (v) et transverse (w), obtenus au centre de la couche de mélange pour* $X = 17,5\ \delta_{\omega 0}$ *et sur un temps* $T = 129$*.*

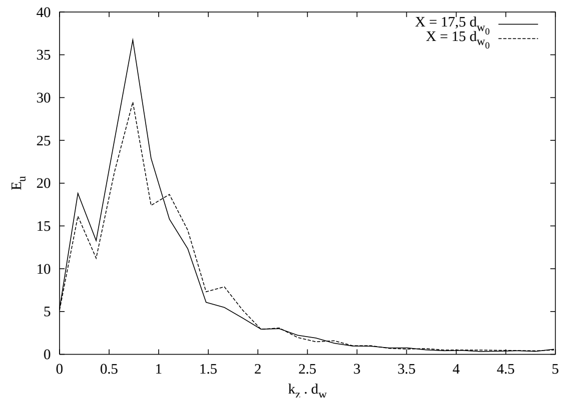

FIG. 5 – *Spectres dans la direction transverse (z) de la vitesse longitudinale u obtenus au centre de la couche de mélange pour deux abscisses* $X = 17,5\ \delta_{\omega 0}$ *et* $X = 15\ \delta_{\omega 0}$*.*